

## روشی عددی برای حل معادله انتگرالی لیپمن-شوینگر با پتانسیل برهم‌کنشی شعاعی

ابراهیم قنبری عدیوی

گروه فیزیک، دانشگاه اصفهان  
پست الکترونیکی: ghanbari@phys.ui.ac.ir

(دریافت مقاله: ۸۵/۵/۱۵؛ دریافت نسخه نهایی: ۸۶/۸/۲)

### چکیده

در این مطالعه، روشی برای تبدیل معادله انتگرالی تکین دار لیپمن-شوینگر به یک معادله جبری ماتریسی ارائه شده است. این روش برای محاسبه عناصر ماتریسی عملگرهای واکنش و گذار به ترتیب بر روی محور حقیقی و صفحه مختصه به کار رفته است. با داشتن مقدار عناصر ماتریسهای واکنش و گذار در روی پوسته انرژی هم جابه‌جاشی‌های فاز و هم دامنه‌های جزئی پراکندگی و سطح مقاطعه‌ای جزئی قابل محاسبه‌اند. روش ارائه شده برای کوادراتورهای گوسی مبتنی بر چندجمله‌ای‌های لزاندر، لاگور، هرمیت، ژاکوبی، چیشیف و عام چیشیف مناسب است و انتخاب نقاط گرهی و توابع وزنی به نوع مسئله و نظر کاربر بستگی دارد.

**واژه‌های کلیدی:** معادله لیپمن-شوینگر، ماتریس گذار، ماتریس واکنش، جابه‌جاشی فاز، کوادراتور گوسی.

### ۱. مقدمه

مسائل فیزیک اتمی، هسته‌ای و ذرات بینادی دانستن جابه‌جاشی‌های فاز الزامی است و این امر با دانستن پاسخ معادله انتگرالی لیپمن-شوینگر میسر می‌شود (به عنوان مثال [۵] را بینید).

بنا به همین اهمیت در سالهای اخیر سعی شده است تا روش‌های عددی مناسبی برای حل این معادله که دارای تکینگی ذاتی نیز می‌باشد، ارائه شود. به عنوان مثال کوادراتورهای تک نقطه‌ای و چند نقطه‌ای براساس خواص موجکهای دایوبجی در مرجع [۷] برای حل معادلات انتگرالی ارائه شده است که ما آنها را برای حل معادله لیپمن-شوینگر با پتانسیل برهم‌کنشی یوکاوا به کار بردیم [۸]. در مرجع [۹] نیز روش مشابهی بر اساس خواص موجکهای برای حل معادلات انتگرالی ارائه شده است. روش‌های مبتنی بر نظریه تقریب و سایر روش‌های عددی را می‌توان در [۱۰ و ۱۱] یافت. اخیراً نیز روشی عددی

معادله انتگرالی لیپمن-شوینگر یکی از معادلات اساسی در نظریه پراکندگی کوانتمی است. این اهمیت از آنجا ناشی می‌شود که از یک سو در بررسی کوانتمی فرایندهای برخورد، این معادله جایگزین معادله دیفرانسیلی شرودینگر و شرایط مرزی حاکم بر آن می‌شود و از سوی دیگر تمام فرمول‌بندی‌هایی که برای حل مسائل پراکندگی سه یا چند ذره‌ای ارائه شده‌اند به نحوی حاصل بازچینی معادله لیپمن-شوینگر هستند [۱]. به عنوان مثال سه معادله انتگرالی جفت شده فادیف در بررسی پراکندگی‌های سه ذره‌ای حاصل شکستن تک معادله لیپمن-شوینگر حاکم بر دینامیک کل سیستم سه ذره‌ای و بازچینی مناسب معادلات حاصل است. در واقع به دلیل تعدد شرایط مرزی و چند کانالی بودن برخوردهای سه ذره‌ای این تجزیه اجتناب‌ناپذیر است [۲-۶]. علاوه بر این در بسیاری از

$$V|\psi_{\mathbf{k}}\rangle = T|\phi_{\mathbf{k}}\rangle. \quad (2)$$

و با اعمال (۲) در (۱) داریم:

$$|\psi_{\mathbf{k}}\rangle = |\phi_{\mathbf{k}}\rangle + G_v T |\phi_{\mathbf{k}}\rangle, \quad (3)$$

با ضرب طرفین در  $V$  و استفاده مجدد از تعریف (۲) داریم:

$$T|\phi_{\mathbf{k}}\rangle = V|\phi_{\mathbf{k}}\rangle + V G_v T |\phi_{\mathbf{k}}\rangle \quad (4)$$

چون رابطه (۴) برای هر  $|\phi_{\mathbf{k}}\rangle$  دلخواهی که حالت مجانبی و آزاد سیستم دو جسمی را تعریف می‌کند برقرار است، بنابراین:

$$T = V + V G_v T, \quad (5)$$

که به آن معادله لیپمن-شوینگر برای ماتریس گذار گفته می‌شود. با نوشتن معادله (۵) در فضای اندازه حرکت داریم:

$$\langle \mathbf{k}|T|\mathbf{k}'\rangle = \langle \mathbf{k}|V|\mathbf{k}'\rangle + (2\pi)^{-2} \int d\mathbf{k}'' \frac{\langle \mathbf{k}|V|\mathbf{k}''\rangle \langle \mathbf{k}''|T|\mathbf{k}'\rangle}{E - (k''^2/2m) + i\varepsilon} \quad (6)$$

که در آن از یکاهای اتمی استفاده کرده وتابع موج ذره آزاد را به صورت  $\langle \mathbf{r}|\mathbf{k}\rangle = \exp(i\mathbf{k} \cdot \mathbf{r})$  بهنجار کرده‌ایم. جرم کاهش یافته سیستم دو ذره‌ای است. با تعریف  $E = p^2/2m$ ، بسط قسمتهای شعاعی و زاویه‌ای، استفاده از خاصیت تقارن پتانسیل کروی، ویژگیها و شرط تعامل چندجمله‌ایهای لثاندر و هماهنگهای کروی، پس از انجام محاسبات ریاضی در نهایت به معادله انترگالی زیر می‌رسیم، که آن را معادله لیپمن-شوینگر در یک بعد می‌نامند.

$$T_l(k, k') = V_l(k, k') + \frac{1}{4\pi^2} \int_0^\infty dk'' \frac{k''^2}{p^2 - k''^2 + i\varepsilon} V_l(k, k'') T_l(k'', k'). \quad (7)$$

حل معادله در حالت کلی (به استثنای موارد خاص) به روش تحلیلی امکان پذیر نیست و باید از روش‌های عددی برای حل آن استفاده کرد.

در اینجا لازم است که به رابطه میان دامنه‌های جزئی پراکندگی و مؤلفه‌های جزئی ماتریس گذار اشاره کنیم. دامنه پراکندگی بر حسب مؤلفه‌های جزئی به صورت زیر بیان می‌شود:

$$f(k, \theta) = \sum_l (2l+1) f_l(k) P_l(\cos\theta) \quad (8)$$

که در آن  $f_l(k)$  و  $P_l(\cos\theta)$  به ترتیب دامنه جزئی و چندجمله‌ای

برای حل مستقیم معادله لیپمن-شوینگر در سه بعد توسط کادیروف و همکاران گزارش شده است [۱۲].

در این مطالعه روشی برای تبدیل معادله انترگالی لیپمن-شوینگر به معادله‌ای ماتریسی به صورت حاصل ضرب یک ماتریس معلوم  $(N+1) \times (N+1)$  در یک ماتریس مجهول ستونی ارائه شده است. برای به دست آوردن این معادله از  $N$  نقطه گرهی کوادراتوری و یک نقطه مشاهده‌پذیر که مقدار عملگر واکنش یا عملگر گذار را روی پوسته انرژی تعیین می‌کند استفاده کرده‌ایم. با استفاده از روش وارون سازی ماتریسی و (یا) روش حذف گوسی به راحتی می‌توان پاسخ معادله را تعیین کرد.

طرح مقاله به این صورت است که در بخش دوم معادله انترگالی لیپمن-شوینگر، برای عملگرهای گذار و واکنش در فضای اندازه حرکت و برای پتانسیلهای برهم‌کنش شعاعی به صورت یک‌بعدی استخراج گردیده و روشی برای حذف تکینگی معادله حاصل ارائه شده است. در بخش سوم روش عددی مورد نظر برای حل معادله توضیح داده شده است. در بخش چهارم نتایج به دست آمده تبیین و بررسی شده‌اند و بخش آخر را به نتیجه‌گیری اختصاص داده‌ایم.

## ۲. معادله لیپمن-شوینگر در یک بعد

در پراکندگی کشسان (الاستیک) دو جسمی، معادله لیپمن-شوینگر که هم ارز معادله شرودینگر به علاوه شرایط مرزی است به صورت زیر نوشته می‌شود [۱۳]:

$$|\psi_{\mathbf{k}}^{(\pm)}\rangle = |\phi_{\mathbf{k}}\rangle + G_v^{(\pm)} V |\psi_{\mathbf{k}}^{(\pm)}\rangle, \quad (1)$$

که در آن  $V$  پتانسیل برهم‌کنش دو جسمی،  $|\psi_{\mathbf{k}}^{(\pm)}\rangle$  تابع موج سیستم دو جسمی در چارچوب مرکز جرم،  $|\phi_{\mathbf{k}}\rangle$  تابع موج مجانبی و عملگر گرین  $G_v^{(\pm)} = \frac{1}{E - H_v \pm i\varepsilon}$  انتشار آزاد متناظر با هامیلتونی آزاد  $H_v$  و مقدار بسیار کوچک  $\varepsilon$  را نشان می‌دهند. بدون آن که چیزی از کلیت بحث کاسته شود، در ادامه برای سادگی در نوشتار از آوردن علامت  $(\pm)$  خودداری می‌کنیم و فقط حالت  $+$  را مورد بحث قرار می‌دهیم. با تعریف ماتریس گذار دو جسمی به صورت:

$$T_l(k, k') = R_l(k, k') - \frac{i\pi\mu p R_l(k, p)R_l(p, k')}{(2\pi)^3 + i\pi\mu p R_l(p, p)}. \quad (15)$$

مشاهده‌پذیرهای تجربی و نتایج نظری که از حل معادله (۷) یا (۱۳) یا (۱۴) به دست می‌آیند، توسط جابه‌جاییهای فاز به هم مربوط می‌گردند. جابه‌جاییهای فاز طبق رابطه (۹) بر حسب مؤلفه‌های ماتریس گذار روی پوسته انرژی ( $p = k' = k$ ) داده می‌شوند. معادله (۱۵) را می‌توان به صورت زیر بر روی پوسته انرژی نوشت:

$$T_l = \frac{(2\pi)^3 R_l}{(2\pi)^3 + \pi^2 \mu^2 p^2 R_l^2} \times [(2\pi)^3 - i\pi\mu p R_l] \quad (16)$$

و بنابراین با توجه به تساوی دوم در معادله (۹)، جابه‌جاییهای فاز به صورت زیر بر حسب مؤلفه‌های جزئی ماتریس برهم‌کنش  $R$  داده می‌شوند:

$$tg\delta_l = -\frac{\pi\mu p R_l(p, p; E)}{(2\pi)^3}. \quad (17)$$

فرض کنیم پتانسیل برهم‌کنش تقارن کروی داشته باشد. با بسط توابع موج تخت بر حسب توابع بسل کروی نوع اول ( $x$ )  $j_l$  و هماهنگهای کروی و انتگرال‌گیری روی قسمت زاویه‌ای و جمع زدن روی دلتاهای کرونکر داریم:

$$\langle \mathbf{k} | V | \mathbf{k}' \rangle = \sum_{l=0}^{\infty} \sum_{m=-l}^{+l} Y_{lm}(\hat{\mathbf{k}}) V_l(k, k') Y_{l'm'}^*(\hat{\mathbf{k}}'), \quad (18)$$

که در آن:

$$V_l(k, k') = (4\pi)^3 \int_0^\infty dr r^2 j_l(kr) j_{l'}(k' r) V(r), \quad (19)$$

ولی به دلیل ماهیت نوسانی توابع بسل کروی محاسبه انتگرال فوق بسیار دشوار و حتی ناممکن است. بنابراین برای پتانسیلهای شعاعی می‌توان از توابع لزاندر استفاده کرد، در معادله (۱۸) با جمع زدن روی  $m$  داریم:

$$\langle \mathbf{k} | V | \mathbf{k}' \rangle = \sum_{l=0}^{\infty} \frac{\gamma l + 1}{4\pi} V_l(k, k') P_l(\cos\gamma); \quad \cos\gamma = \hat{\mathbf{k}} \cdot \hat{\mathbf{k}}'. \quad (20)$$

با ضرب کردن طرفین در  $P_l(\cos\gamma)$  و انتگرال‌گیری روی  $\cos\gamma$  با استفاده از تعامل توابع لزاندر داریم:

$$V_l(k, k') = \frac{1}{2\pi} \int_{-1}^{+1} \langle \mathbf{k} | V | \mathbf{k}' \rangle P_l(x) dx; \quad x = \cos\gamma. \quad (21)$$

با وارد کردن رابطه بستاری در فضای موقعیت داریم:

لزاندر مرتبه  $l$  هستند.  $f_l(k)$  و  $\delta_l$  جابه‌جایی فاز مرتبه  $l$  با روابط زیر به عناصر ماتریس گذار مربوط می‌شوند:

$$f_l(k) = -\frac{\mu k}{8\pi^3} T_l(k, k; E), \quad tg\delta_l = \frac{\text{Im}(T_l)}{\text{Re}(T_l)}. \quad (9)$$

سطح مقطع جزیی پراکندگی نیز با رابطه زیر از دامنه پراکندگی به دست می‌آید:

$$\frac{d\sigma}{d\Omega} = |f(k, \theta)|^2. \quad (10)$$

گاهی بهتر است که معادله لیپمن-شوینگر را بر حسب عملگر واکنش  $R$  بیان کنیم. می‌توان معادله انتگرالی زیر را برای ماتریس واکنش  $R$  به دست آورد:

$$R = V + VG_*^{(p)} R, \quad (11)$$

که به معادله انتگرالی لیپمن-شوینگر برای ماتریس واکنش  $R$  معروف است. عملگر گرین  $G_*^{(p)}$  با  $G_*^{(p)} = P \frac{1}{E - H_*}$  داده

$$\text{که در آن } P \text{ نشانگر مقدار اصلی کوشی است و می‌توان نشان داد: } G_*^{(\pm)} = G_*^{(p)} \mp i\pi\delta(E - H_*). \quad (12)$$

به روشنی مشابه آنچه که برای ماتریس گذار  $T$  انجام دادیم، می‌توان معادله لیپمن-شوینگر برای ماتریس واکنش  $R$  را به شکل انتگرالی زیر نوشت:

$$R_l(k, k') = V_l(k, k') + \frac{\mu}{4\pi^3} P \int_0^\infty dk'' \frac{k''^2}{p^2 - k''^2} V_l(k, k'') R_l(k'', k'), \quad (13)$$

که در به دست آوردن آن از واقعیت آمده در تعریف  $G_*^{(p)}$  استفاده کرده‌ایم. مزیت این معادله آن است که بر خلاف (۷)، در آن فقط با کمیتهای حقیقی سروکار داریم. همچنین با اعمال رابطه (۱۲) در (۵) و انجام محاسبات مشابه و یا اعمال مستقیم آن بر (۷) به معادله انتگرالی زیر می‌رسیم که البته معادل (۷) است.

$$T_l(k, k') = V_l(k, k') + \frac{\mu}{4\pi^3} P \int_0^\infty dk'' \frac{k''^2}{p^2 - k''^2} V_l(k, k'') T_l(k'', k') - \frac{i\pi\mu}{(2\pi)^3} p V_l(k, p) T_l(p, k'). \quad (14)$$

در اینجا لازم است که به رابطه میان ماتریس گذار  $T$  و واکنش  $R$  اشاره کنیم:

$$P \int_{\circ}^{+\infty} \frac{f(x)dx}{x^r - x_0^r} = \int_{\circ}^{+\infty} \frac{[f(x) - f(x_0)]dx}{x^r - x_0^r}, \quad (27)$$

استفاده کرده، علامت مقدار اصلی را حذف می‌کنیم:

$$R_l(k, k') = V_l(k, k') + \frac{\mu}{4\pi^r} \int_{\circ}^{\infty} dk'' \frac{1}{p^r - k''^r} \times \{k''^r V_l(k, k'') R_l(k'', k') - p^r V_l(k, p) R_l(p, k')\}. \quad (28)$$

در این معادله پارامترهای  $k$  و  $k'$  هر مقدار دلخواهی را می‌توانند داشته باشند. ولی چون مقادیر روی پوسته انرژی از نظر فیزیکی دارای اهمیت هستند ما مقدار  $k$  را برابر  $p$  انتخاب می‌کنیم،  $k = p$ ، و با استفاده از رابطه کوادراتوری مناسب انتگرال موجود را به یک مجموع تقریب می‌زنیم:

$$R_l(k, p) \simeq V_l(k, p) + \frac{\mu}{4\pi^r} \sum_{j=1}^N \frac{w_j}{p^r - k_j^r} \times \{k_j^r V_l(k, k_j) R_l(k_j, p) - p^r V_l(k, p) R_l(p, p)\}, \quad (29)$$

که در آن مجموعه نقاط  $\{k_j; j = 1, 2, \dots, N\}$  نقطه انتگرال‌گیری و مجموعه مقادیر ثابت  $\{w_j; j = 1, 2, \dots, N\}$  ضرایب وزنی در روش انتگرال‌گیری هستند، که مقادیر آنها به نوع کوادراتور انتخاب شده بستگی دارد. عموماً از کوادراتورهای گوسی در این مورد استفاده می‌شود. با فرض  $k_{N+1} = p$  و در نظر گرفتن مقادیر گسسته  $\{k_i; i = 1, 2, \dots, N+1\}$  برای پارامتر  $k$  در معادله بالا به صورت:

$$k_i = \begin{cases} k_j & ; \quad i = j = 1, 2, \dots, N \\ p & ; \quad i = N+1 \end{cases} \quad (30)$$

به  $N+1$  معادله جبری با همان تعداد مجهول می‌رسیم. این مجهولات عبارتند از  $N$  مقدار کوادراتوری  $R_l(k_j, p)$  و یک مقدار مشاهده پذیر  $R_l(p, p)$  که متناظر با مقدار ماتریس واکنش روی پوسته انرژی است. این مجهولات با مجموعه معادلات خطی حاصله به هم جفت شده‌اند. این معادلات عبارتند از:

$$R_l(k_i, p) \simeq V_l(k_i, p) + \frac{\mu}{4\pi^r} \sum_{j=1}^N \frac{w_j}{p^r - k_j^r} \times \{k_j^r V_l(k_i, k_j) R_l(k_j, p) - p^r V_l(k_i, p) R_l(p, p)\}, \quad i = 1, 2, \dots, N+1 \quad (31)$$

$$V_l(k, k') = 2\pi \int_{-\infty}^{+\infty} dx P_l(x) \int d\mathbf{r} V(\mathbf{r}) e^{-i(\mathbf{k}-\mathbf{k}') \cdot \mathbf{r}} = (2\pi)^{d/2} \int_{-\infty}^{+\infty} dx P_l(x) \tilde{V}(\mathbf{k} - \mathbf{k}'), \quad (22)$$

$\Delta = \mathbf{k} - \mathbf{k}'$  تبدیل فوریه پتانسیل نسبت به  $\mathbf{k}'$  است. با فرض شعاعی بودن پتانسیل باز هم داریم:

$$V_l(k, k') = -4i\pi \int_{-\infty}^{+\infty} dx P_l(x) \frac{1}{\Delta} \int_{\circ}^{\infty} dr r V(r) (e^{i\Delta r} - e^{-i\Delta r}). \quad (23)$$

به عنوان یک مثال ساده برای پتانسیل یوکاوا داریم:

$$V_l(k, k') = -4i\pi V_{\circ} \int_{-\infty}^{+\infty} dx P_l(x) \frac{1}{\Delta} \int_{\circ}^{\infty} dr e^{-\lambda r} (e^{i\Delta r} - e^{-i\Delta r}), \quad (24)$$

یا:

$$V_l(k, k') = 8\pi V_{\circ} \int_{-\infty}^{+\infty} dx \frac{P_l(x)}{\lambda^r + \Delta^r}; \quad \Delta^r = k^r + k'^r - 2kk'x. \quad (25)$$

برای چنین پتانسیلی مؤلفه مرتبه صفرم پتانسیل عبارتست از:

$$V_{\circ}(k, k') = -\frac{4\pi V_{\circ}}{kk'} \ln\left(\frac{\lambda^r + (k - k')^r}{\lambda^r + (k + k')^r}\right) \quad (26)$$

### ۳. روش عددی برای حل معادله لیپمن-شوینگر

اکنون در موقعیتی هستیم که می‌توانیم به حل عددی معادله انتگرالی لیپمن-شوینگر پردازیم. منظور از حل معادله لیپمن-شوینگر به دست آوردن عناصر ماتریس گذار،  $T_l(p, p)$ ، یا به طور معادل عناصر ماتریس واکنش،  $R_l(p, p)$  روی پوسته انرژی است که در معادله مذکور صدق می‌کند. با داشتن عناصر این ماتریسها روی پوسته انرژی، تمام اطلاعات مربوط به مسئله پراکندگی مانند دامنه‌های جزئی و کلی پراکندگی، جابه‌جایی‌های فاز، سطح مقطعهای جزئی و کلی و ... قابل حصول و محاسبه‌اند. به طور کلی در معادلات انتگرالی، بسته به رفتار انتگرال‌ده روش محاسبه انتگرال نیز متفاوت است. به ویژه محاسبه انتگرال‌های تکین‌دار و نیز انتگرال‌های نوسانی روش‌های خاص خود را می‌طلبد. مقدار خطا نیز به روش محاسبه بستگی دارد. ولی برای این معادله خاص، ابتدا از حل (۱۳) آغاز می‌کنیم. از معادله:

ساده و مستقیم برای ماتریس ارائه می‌دهد. روش دوم یافتن ماتریس  $\mathbf{R}$  است که بدون محاسبه ماتریس وارون رابطه (۳۷) را برآورده کند. این روش را روش حذف گوسی می‌نامند. با معلوم بودن عناصر ماتریس  $\mathbf{R}$  می‌توان با استفاده از (۱۵) مؤلفه‌های جزئی ماتریس گذار  $T$  و با استفاده از (۱۷) جابه‌جایی فاز متناظر با مرتبه  $l$  را محاسبه کرد. با تعیین جابه‌جایی‌های فاز متناظر با مرتبه‌های مختلف  $l$  همه چیز در مورد پراکندگی دو جسمی معلوم خواهد بود.

در اینجا لازم است که اشاره کنیم که با حل مستقیم معادله انتگرالی (۱۴) نیز می‌توان اطلاعات لازم در مورد پراکندگی دو جسمی مورد نظر را به دست آورد. در این حالت نیز با روش مشابه آنچه که در بالا بحث شد به معادله زیر خواهیم رسید:

$$\sum_{j=1}^{N+1} D(k_i, k_j) T_l(k_j, p) - \frac{i\pi\mu}{(2\pi)^r} p V_l(k_i, p) T_l(p, p) = V_l(k_i, p); \quad i = 1, 2, \dots, N+1 \quad (38)$$

با وارد کردن جمله دوم در علامت مجموع داریم:

$$\sum_{j=1}^{N+1} F(k_i, k_j) T_l(k_j, p) = V_l(k_i, p); \quad i = 1, 2, \dots, N+1 \quad (39)$$

که در آن:

$$F(k_i, k_j) = \begin{cases} D(k_i, k_j) & ; \quad 1 \leq j \leq N \\ D(k_i, p) - \frac{i\pi\mu}{(2\pi)^r} p V_l(k_i, p) & ; \quad j = N+1 \end{cases} \quad (40)$$

معادله (۳۹) نیز دارای مقدار  $(N+1)$  مجهول است: مجهول کوادراتوری  $T_l(k_j, p)$  و یک مجهول مشاهده‌پذیر  $T_l(p, p)$  که متناظر با مقدار مؤلفه جزئی ماتریس گذار روی پوسته انرژی است.

این معادله را نیز می‌توان به صورت ضرب ماتریسی زیر بر حسب ماتریس مربعی  $(N+1) \times (N+1)$ ،  $\mathbf{F}$  و ماتریسهای ستونی  $\mathbf{T}$  و  $\mathbf{V}$ ، که هر کدام مانند قبل دارای  $(N+1)$  سطر هستند، نوشت:

$$\mathbf{FT} = \mathbf{V}, \quad (41)$$

اکنون تمام مجهرولات را به طرف چپ معادله منتقل می‌کنیم. با کمی تغییرات ریاضی داریم:

$$\sum_{j=1}^N [\delta_{ij} - \frac{\mu}{4\pi^r} \frac{w_j}{p^r - k_j^r} k_j^r V_l(k_i, k_j)] R_l(k_j, p) + [\delta_{i,N+1} + \frac{\mu}{4\pi^r} p^r V_l(k_i, p) \times \sum_{m=1}^N \frac{w_m}{p^r - k_m^r}] R_l(p, p) \simeq V_l(k_i, p); \quad i = 1, 2, \dots, N+1 \quad (32)$$

یا به طور خلاصه تر داریم:

$$\sum_{j=1}^{N+1} D(k_i, k_j) R_l(k_j, p) = V_l(k_i, p); \quad i = 1, 2, \dots, N+1 \quad (33)$$

که در آن:

$$D(k_i, k_j) = \begin{cases} \delta_{ij} - \frac{\mu}{4\pi^r} \frac{w_j}{p^r - k_j^r} k_j^r V_l(k_i, k_j) & ; \quad 1 \leq j \leq N \\ \delta_{i,N+1} + \frac{\mu}{4\pi^r} p^r V_l(k_i, p) \sum_{m=1}^N \frac{w_m}{p^r - k_m^r} & ; \quad j = N+1 \end{cases} \quad (34)$$

مجموعه معادلات جفت شده در (۳۳) را می‌توان به صورت ضرب ماتریسی نمایش داد:

$$\mathbf{DR} = \mathbf{V} \quad (35)$$

که در آن  $\mathbf{D}$  ماتریسی مربعی و  $(N+1) \times (N+1)$  است.  $\mathbf{R}$  و  $\mathbf{V}$  نیز ماتریسهای ستونی هستند که هر کدام دارای  $(N+1)$  سطرند. عناصر این ماتریسهای با توجه به روابط (۳۳) و (۳۴) به صورت زیر داده می‌شوند:

$$\mathbf{D}_{ij} = D(k_i, k_j) \quad \mathbf{R}_{i\backslash} = R_l(k_i, p) \quad ; \quad i, j = 1, 2, \dots, N+1 \quad (36)$$

برای یافتن عناصر مجهول ماتریس ستونی  $\mathbf{R}$  در واقع دو راه وجود دارد. راه اول حل معادله ماتریسی (۳۵) با استفاده از روش وارون‌سازی ماتریسی است. با ضرب طرفین این معادله در معکوس ماتریس  $\mathbf{D}$  از طرف چپ داریم:

$$\mathbf{R} = \mathbf{D}^{-1} \mathbf{V}. \quad (37)$$

چون در مباحث جبر خطی یافتن وارون ماتریسهای مختلط هم از روش استاندارد و معمول پیروی می‌کند معادله (۳۷) جوابی

با این حال در ادامه محاسبات انجام شده را بر مبنای کوادراتور گوس-ژاکوبی انجام خواهیم داد که در آن با یک تغییر متغیر ساده، بازه  $[0, \infty]$  بر بازه  $[-1, +1]$  نگاشته شده است. برای بحث بیشتر در مورد ضرایب وزنی و کوادراتورهای گوسی خواننده را به مرچع [۱۵] ارجاع می‌دهیم.

روش ارائه شده در بخش قبل را می‌توان برای پتانسیلهای پراکندگی شعاعی خوش‌رفتار به کار برد. آنچه که از حل معادلات جبری (۴۱) و (۳۵) به دست می‌آید و دارای اهمیت فیزیکی است، مقدار عددی ماتریس گذار،  $T_l(p, p)$ ، یا ماتریس واکنش،  $R_l(p, p)$ ، بر روی پوسته انرژی، است. در این بخش، به عنوان مثالی از کاربردهای روش ذکر شده، جابه‌جاییهای فاز، قسمتهای حقیقی و موهومی ماتریس گذار بر روی پوسته انرژی، دامنه‌ها و سطح مقطعهای جزیی پراکندگی را برای پراکندگی ذره‌ای به جرم واحد در پتانسیل پراکندگی یوکاوا به معادله  $r/r - 2\exp(-2r)$ ، را برای  $r = 10$  تا  $1 = 0$  محاسبه می‌کنیم. دلیل این انتخاب آن است که در پراکندگیهای اتمی، گاهی پتانسیل پیچیده برهم‌کنش را با جمع یک پتانسیل کولنی و یک پتانسیل کوتاه‌برد تقریب می‌زنند. در اتمهای ساده و به ویژه برای الکترونهای لایه  $K$ ، پتانسیل یوکاوا تقریب خوبی برای بخش کوتاه‌برد است. گستره تغییرات انرژی پراکندگی را از  $10^{-6}V$  تا  $10^5V$  که معادل تغییرات تکانهای  $0.86$  تا  $6.0$  است، در نظر گرفته‌ایم. در انجام محاسبات از کواراتور گوس-ژاکوبی با نه نقطه گرهی استفاده شده است. بنابراین ماتریسهای  $F$  و  $D$  ماتریسهای  $10 \times 10$  هستند که به روش حذف گوسی وارون آنها را پیدا کرده تا  $10 \times 10$  معادله جبری جفت شده را همزمان حل کنیم.

شکل ۱ جابه‌جاییهای فاز را بر حسب انرژی و عدد کوانتمی نشان می‌دهد. تغییرات جابه‌جایی فاز بر حسب انرژی پراکندگی به ازای اعداد کوانتمی مداری مختلف و بر حسب عدد کوانتمی مداری به ازای انرژیهای فرودی متفاوت نیز در شکل ۲ نشان داده شده است. همان‌گونه که از شکل‌ها دیده می‌شود جابه‌جاییهای جزیی فاز به ازای اهای بزرگ برای تمام مقادیر انرژی ممکن به سمت صفر می‌رود.

که در آن عناصر ماتریسی اجزاء مختلف به صورت زیر داده می‌شوند:

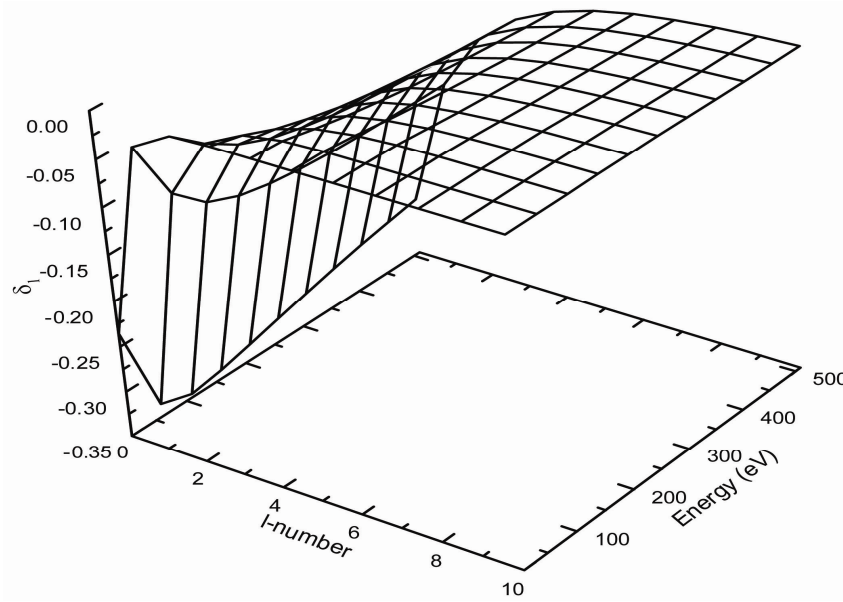
$$\begin{aligned} F_{ij} &= F(k_i, k_j) \\ T_{ii} &= T(k_i, p) \quad ; \quad i, j = 1, 2, \dots, N+1 \\ V_{ii} &= V(k_i, p) \end{aligned} \quad (42)$$

حل معادله (۴۱) نیز با دو فرایندی که در بالا توضیح دادیم امکان‌پذیر است. با این تفاوت که در اینجا با ماتریس مختلط  $F$  تعریف شده در (۴۰) سر و کار داریم. در نتیجه مقادیری را که برای عناصر مجهول  $T$  به دست می‌آوریم نیز مختلط خواهند بود.

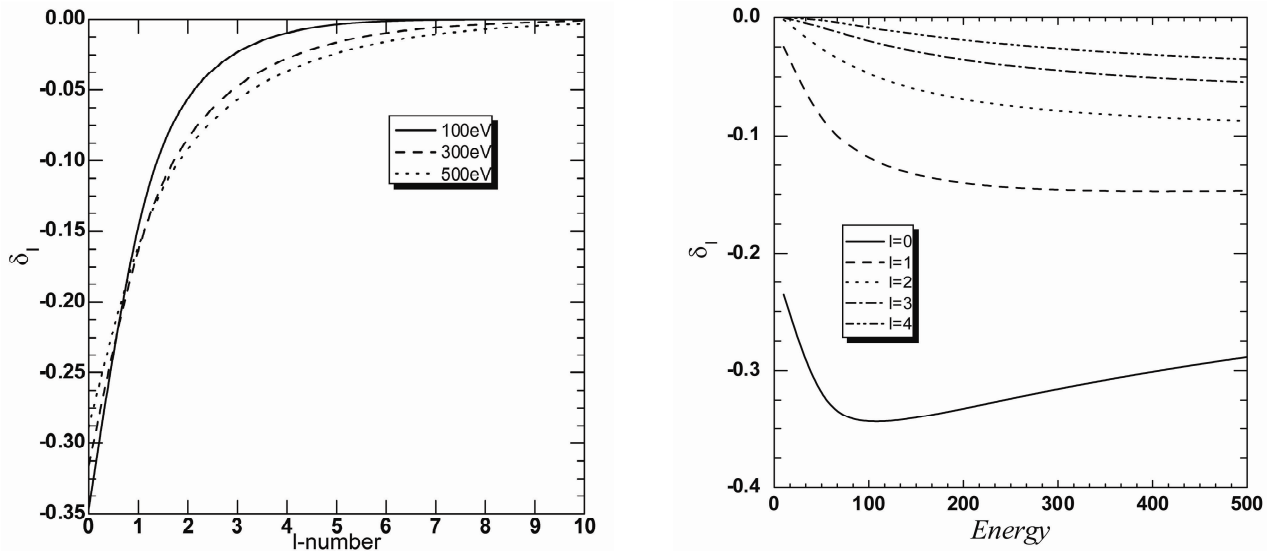
با حل معادله (۴۱) مقادیر مختلف مؤلفه مرتبه ۷ام ماتریس گذار خارج و روی پوسته انرژی به ازای انرژیهای مختلف به دست می‌آید. با معلوم بودن مقدار مؤلفه روی پوسته انرژی می‌توان با استفاده از (۹) جابه‌جایی فاز مرتبه ۷ را بدست آورد و باز هم با معلوم بودن جابه‌جاییهای فاز مساله پراکندگی به طور کامل حل شده است.

#### ۴. نتایج و بحث

معادله شرودینگر برای پراکندگیهای دو ذره‌ای که در آنها پتانسیل برهم‌کنش سریعتر از  $\frac{1}{r}$  افت می‌کند دارای جواب یکتا، محدود و معین است. به تبع معادله لیپمن-شوینگر نیز دارای این ویژگی است. ولی همان‌گونه که دیده شد این معادله دارای تکینگی ذاتی اما قابل حذف است [۱۴]. در آنچه که گذشت روشنی برای حذف تکینگی مذکور ارائه شده است و حاصل نهائی معادله (۲۸) است که در غالب مسائل به روش عددی حل می‌شود. روش عددی ارائه شده در این مقاله، برای حل معادله مذکور مبتنی بر کواراتورهای گوسی است که به معادله (۲۹) منجر شده است. ضرایب وزنی  $w$  به کواراتور انتخاب شده بستگی دارند. بی‌نهایت بودن حد بالای انتگرال موجب نامتناهی بودن کل انتگرال نیست. به ویژه که کواراتور مبتنی بر چندجمله‌ایهای لاگور را می‌توان مستقیماً برای محاسبه انتگرال‌ها در بازه  $(0, \infty]$  به کار برد. اگرچه روش ارائه شده در این مقاله را می‌توان برای تمام کواراتورهای گوسی به کار برد،



شکل ۱. تغییرات جابجایی‌های فاز بر حسب انرژی پراکندگی به ازای مقادیر مختلف عدد کوانتمی  $l$ .



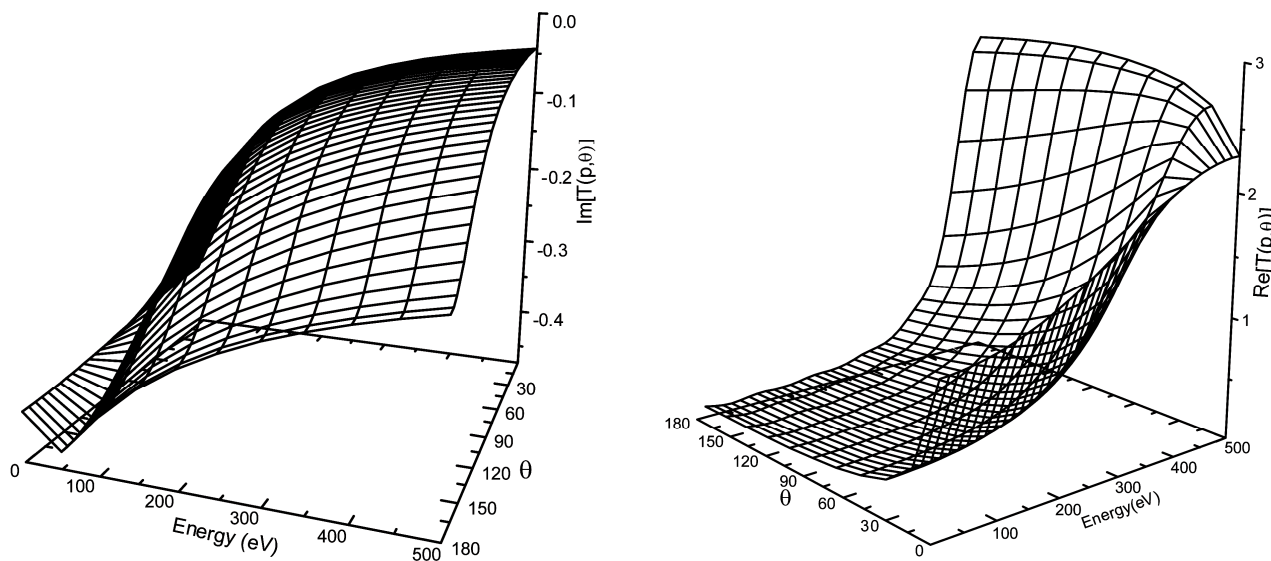
شکل ۲. تغییرات جابجایی فاز: (الف) بر حسب انرژی پراکندگی به ازای اعداد کوانتمی مداری ۵ و (ب) بر حسب عدد کوانتمی مداری به ازای انرژی‌های فرودی ۱۰۰، ۳۰۰ و ۵۰۰ eV.

زوایای پراکندگی کوچک بیشتر است، برای انرژی‌های پراکندگی بالا این مقدار در زوایای پراکندگی بزرگ بیشتر از مقادیر متناظر در زوایای پراکندگی کوچک است.

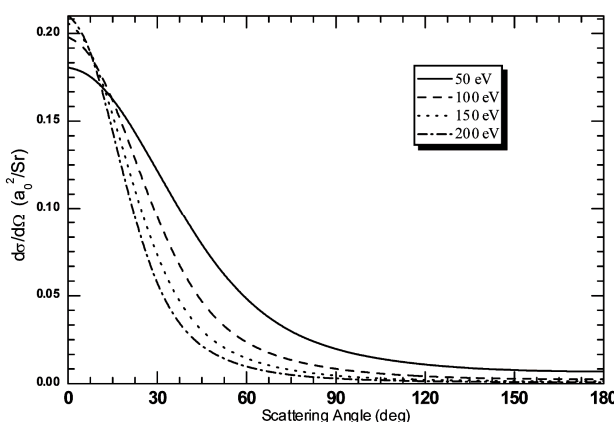
قسمت موہومی دامنه پراکندگی نیز در انرژی‌های بالا و زوایای پراکندگی بالا، بیشترین مقدار و در انرژی‌های پایین و زوایای پراکندگی بزرگ کمترین مقدار را دارد.

در شکل ۴، توزیع زاویه‌ای سطح مقطع پراکندگی به ازای همان انرژی‌های فرودی برای تمام زوایای پراکندگی ممکن، و با

به ازای انرژی ۱۰۰ eV قدر مطلق جابجایی فاز  $\theta$  نسبت به بقیه انرژی‌ها بیشینه است. شکل ۳، قسمتهای حقیقی و موہومی ماتریس گذار را برای همان انرژی‌ها و به ازای زاویه‌های پراکندگی ۰ تا ۱۸۰ درجه نشان می‌دهد. همان‌گونه که در شکل نشان داده شده است قسمت حقیقی دامنه پراکندگی برای زوایای بزرگ و در انرژی‌های پایین کمترین مقدار ممکن را دارد. در انرژی‌های بالا این مقدار به طور قابل ملاحظه‌ای رشد دارد. برخلاف انرژی‌های پائین که مقدار حقیقی ماتریس گذار در



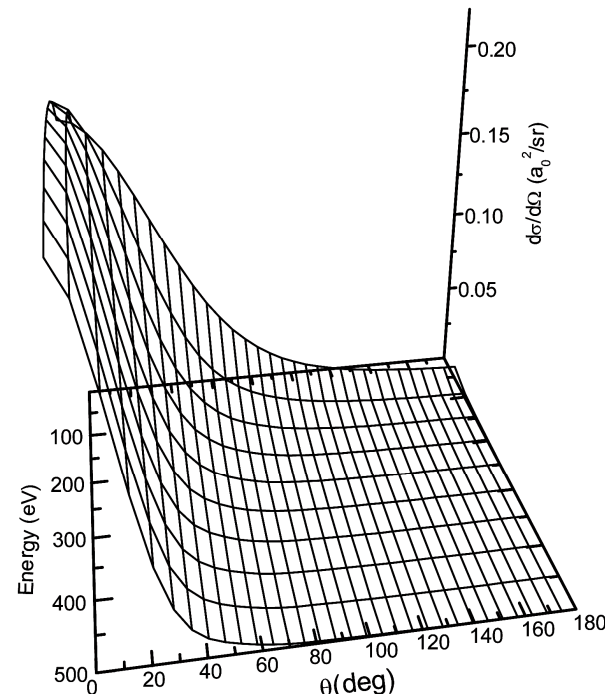
شکل ۳. مقادیر حقیقی و موهومی ماتریس گذار بر روی پوسته انرژی به ازای گستره انرژی  $10-500 \text{ eV}$  و زوایای پراکندگی  $10-180^\circ$  درجه.



شکل ۵. توزیع زاویه‌ای سطح مقطعهای جزئی پراکندگی به ازای انرژیهای فرود  $50, 100, 150$  و  $200 \text{ eV}$ .

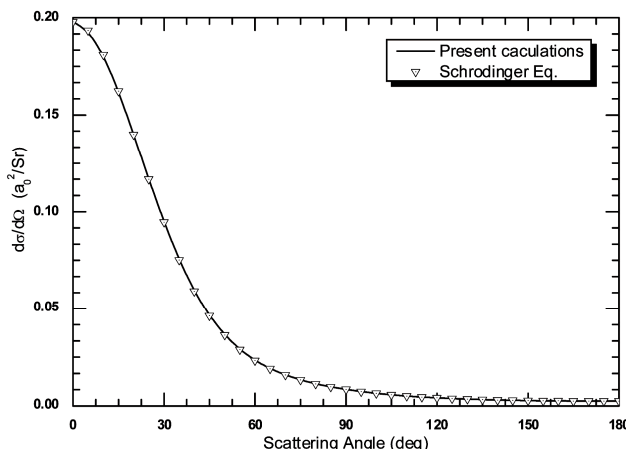
در شکل ۵، توزیع زاویه‌ای سطح مقطعهای جزئی پراکندگی به ازای انرژیهای فرود مختلف با یکدیگر مقایسه شده‌اند. همان‌گونه که در شکل دیده می‌شود، بیشینه سطح مقطع جزئی پراکندگی در زوایای پراکندگی نزدیک به صفر روی می‌دهد که با افزایش انرژی فرودی این بیشینه افزایش می‌یابد. با افزایش زاویه پراکندگی سطح مقطع سریعاً کاهش می‌یابد. با افزایش انرژی آهنگ افت سطح مقطع بر حسب تغییر زاویه پراکندگی افزایش می‌یابد.

در شکل ۶، قسمتهای حقیقی و موهومی ماتریس گذار و در شکل ۷ سطح مقطع جزئی پراکندگی به ازای انرژی

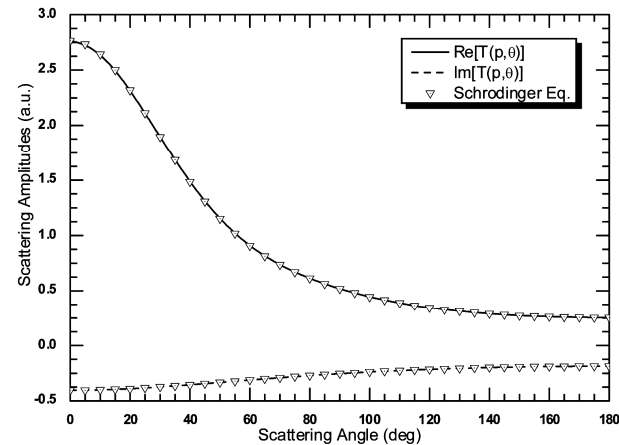


شکل ۴. توزیع زاویه‌ای سطح مقطع جزئی پراکندگی در گستره انرژی  $10-500 \text{ eV}$  و زوایای پراکندگی  $10-180^\circ$  درجه.

احتساب یازده مؤلفه جزئی، ( $I=1, 0, 10$ )، و با محاسبه دامنه‌های پراکندگی متناظر با استفاده از روش ارائه شده، نشان داده شده است. برای تمام انرژیهای فرودی، سطح مقطع جزئی پراکندگی در زوایای کوچک بیشترین مقدار را دارد در زوایای بزرگ سطح مقطع به سمت صفر میل می‌کند.



شکل ۷. مقایسه نتایج به دست آمده، با استفاده از روش حاضر، با نتایج حاصل از معادله شروودینگر برای توزیع زاویه‌ای سطح مقطع جزیی پراکندگی به ازای انرژی فرودی  $100 \text{ eV}$  و زوایای پراکندگی  $180^\circ - 0^\circ$  درجه.



شکل ۶. مقایسه نتایج به دست آمده، با استفاده از روش حاضر، با نتایج حاصل از معادله شروودینگر برای مقادیر حقیقی و موهومی ماتریس گذار بر روی پوسته انرژی به ازای انرژی  $100 \text{ eV}$  و زوایای پراکندگی  $180^\circ - 0^\circ$  درجه.

یک معادله جبری ساده تبدیل کردیم، به قسمی که حل معادله نسبتاً ساده جبری هم ارز معادله تکین‌دار و پیچیده لیپمن-شوینگر باشد. با معلوم بودن پتانسیل برهم‌کنش، می‌توان معادله جبری به دست آمده را برای به دست آوردن مؤلفه‌های جزئی ماتریس‌های گذار و واکنش با هر 7 دلخواه روی پوسته انرژی حل کرد. مقدار مؤلفه‌های ماتریس واکنش حقیقی و مقدار مؤلفه‌های ماتریس گذار موهومی واکنش. با معلوم بودن مقدار عناصر ماتریس‌های واکنش و هستند. در روی پوسته انرژی، جابه‌جاویه‌های فاز، دامنه‌های گذار، در روی پوسته انرژی، سطح مقطع‌های جزئی قابل محاسبه‌اند. جزئی پراکندگی و سطح مقطع‌های جزئی قابل محاسبه‌اند. سطح مقطع پراکندگی مشاهده‌پذیر فیزیکی‌ای است که به روش نظری قابل محاسبه و به روش تجربی قابل اندازه‌گیری است.

فرودی  $100 \text{ eV}$  رسم شده است، مقادیر به دست آمده از این روش با مقادیر متناظر به دست آمده از حل مستقیم معادله شروودینگر با هم مقایسه شده‌اند. چنان که انتظار داریم، سطح مقطع جزئی در زوایای کوچک بیشینه است که با افزایش زاویه به طور قابل ملاحظه‌ای کاهش می‌یابد. همان‌گونه که دیده می‌شود، توافق بسیار خوبی بین مقادیر به دست آمده با استفاده از این روش و مقادیر به دست آمده از حل معادله شروودینگر وجود دارد.

## ۵. نتیجه‌گیری

در روشی که ارائه شد، معادله انتگرالی و تکین‌دار لیپمن-شوینگر را، برای پتانسیلهای برهم‌کنش شعاعی، به یک معادله انتگرالی یک بعدی تبدیل کردیم. با استفاده از مقدار اصلی کوشی تکینگی موجود در این معادله را حذف کردیم. سپس با ارائه روشی مناسب، معادله انتگرالی را به

## مراجع

- and L Campbell, *Phys. Rev. A* **75** (2007) 022704.
4. E Ghanbari Adivi and M A Bolorizadeh, *Few-Body Syst.* **39** (2006) 11.
5. E Ghanbari Adivi and M A Bolorizadeh, *J. Phys. B* **37** (2004) 3321.
1. D P Dewangan, J Eichler, *Phys. Rep.* **247** (1994) 59.
2. I R Afnan and A W Thomas, *Fundamentals of three-body scattering theory, Topics in Current Physics* **2** (1977) 1-47.
3. E Ghanbari Adivi, M J Brunger, M A Bolorizadeh

- Anal. Appl.*, **10** (2004) 645-660.
12. A S Kadyrov, I Bray, A T Stelbovics and B Saha, *J. Phys.*, **B 38** (2005) 509-515.
13. T I Kopaleishvili, *Collision Theory: A Short Course*, World Scientific, Singapore (1995).
14. C J Joachain, *Quantum Collision Theory*, North-Holland, Amsterdam (1975).
15. W H Press, S A Teukolky, W T Vetterling and B P Flannery, *Numerical Recipes in C*, 2ed Edition, Cambridge University Press, Cambridge (1992).
6. E Ghanbari Adivi and M A Bolorizadeh, *Hadronic J. Supplement*, **18** (2003) 345.
7. B M Kessler, G L Payne and W N Polyzou, *Few-Body Syst.*, **33** (2003) 1-26.
8. E Ghanbari Adivi and M A Bolorizadeh, *Ann. Iranian Phys. Conf.* (2005).
9. M Kovacic, K Najzar and J Horacek, *Czech. J. Phys.*, **52** (2002) 41-50.
10. H C Chiang and T Y Lee, *Chinese J. Phys.*, **10** (1972) 35-43.
11. F Lanzara, V Maz'ya and G Schmidt, *J. Fourier*